

6.6 衍射光栅

— Gratings

对入射光的振幅和/或相位进行周期性空间调制的器件

Any arrangement which imposes on an incident wave a periodic variation of amplitude or phase , or both.

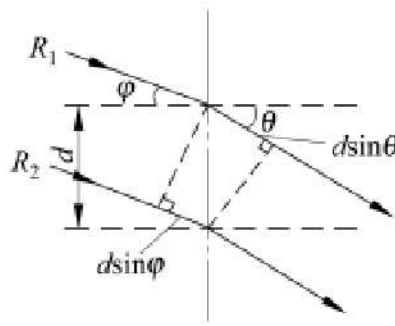
工作方式 { 透射型
反射型

6.6.1 光栅的分光性能

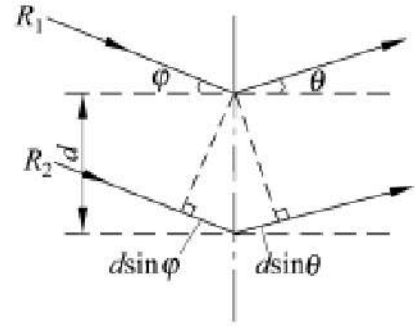
1. 光栅方程

多缝衍射干涉主极大条件

$$d \sin \theta = m \lambda$$



(a) 入射光与衍射光在光栅法线异侧



(b) 入射光与衍射光在光栅法线同侧

斜入射衍射极大条件 ---- 光栅方程

$$d(\sin \varphi \pm \sin \theta) = m \lambda \quad m = 0, \pm 1, \pm 2, \dots \quad (6-53)$$

衍射光与入射光同侧取正, 异侧取负号

d 为缝间距, 称为光栅常数, φ 为入射角, θ 为衍射角

2. 性能参数

(A) 色散

(1) 角色散 $d\theta/d\lambda$

定义： 单位波长差 ($1\text{\AA} = 10^{-10}\text{m}$) 的两条谱线分开的角距离

公式： 由光栅方程 $d(\sin \varphi \pm \sin \theta) = m\lambda$

取微分并取绝对值
$$\frac{d\theta}{d\lambda} = \frac{m}{d \cos \theta} \quad (6-54)$$

级次 m 越高，光栅常数 d 越小，色散能力越强。

(2) 线色散 $dl / d\lambda$

定义：在聚焦物镜的焦面上单位波长差 ($1\text{\AA} = 10^{-10}\text{m}$) 的两条谱线分开的距离。

公式：
$$\frac{dl}{d\lambda} = f \frac{d\theta}{d\lambda} = f \frac{m}{d \cos \theta} \quad (6-55)$$

(B) 分辨本领

- (1) 概念 分辨本领是表征分辨开两条波长相差很小的谱线的能力。

$$A = \frac{\lambda}{\delta\lambda} \quad (6-56)$$

$\delta\lambda$ —— 光栅所能分辨的最小波长差

(2) 公式

瑞利标准

$\lambda + \delta\lambda$ 的第 m 级主极大正好落在 λ 的第 m 级主极大旁的第一极小值处，则认为这两条谱线恰好可以分开。

$$d \sin \theta = \left(m + \frac{1}{N} \right) \lambda = m(\lambda + \delta\lambda) \quad \longrightarrow \quad \delta\lambda = \frac{\lambda}{mN}$$

$$\longrightarrow \quad A = \frac{\lambda}{\delta\lambda} = mN$$

(C) 自由光谱范围

概念:

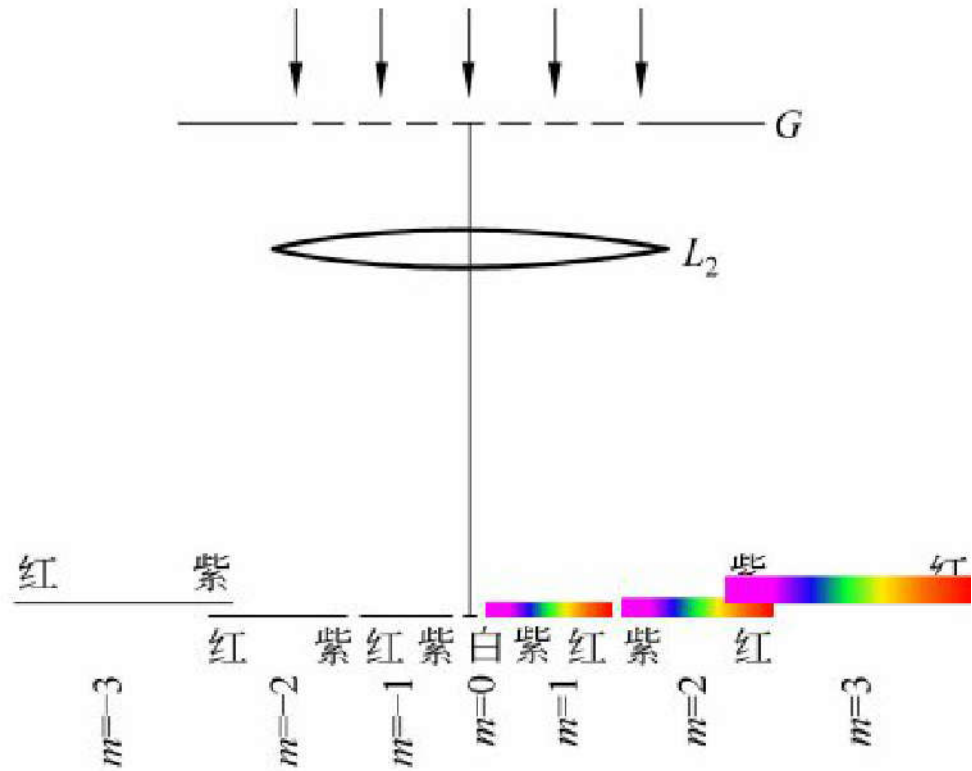
相邻级次的光谱不发生重叠的波长范围。

公式:

$$m(\lambda + \Delta\lambda)$$

$$= (m+1)\lambda$$

$$\Delta\lambda = \lambda / m \quad (6-57)$$



3. 与 F-P 腔比较

F--P

光栅

色散

$$\frac{d\theta}{d\lambda} = -\frac{\text{ctg}\theta}{\lambda}$$

$$\frac{d\theta}{d\lambda} = \frac{m}{d \cos \theta}$$

自由光谱范围

$$\Delta\lambda = \frac{\lambda}{m}$$

$$\Delta\lambda = \frac{\lambda}{m}$$

分辨本领

$$A = \frac{\lambda}{\delta\lambda} = mN$$

$$A = \frac{\lambda}{\delta\lambda} = mN$$

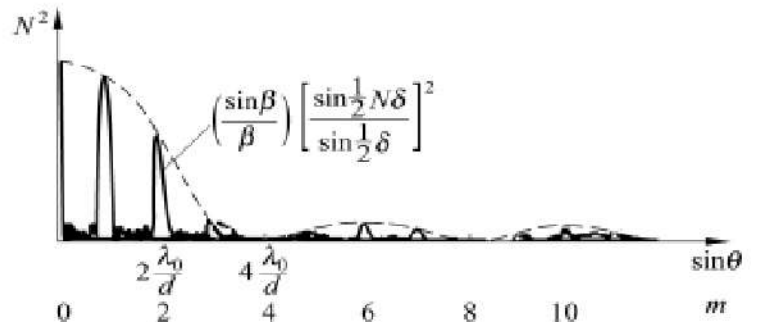
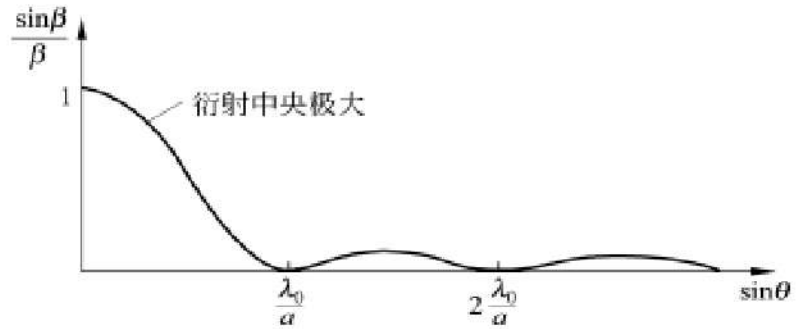
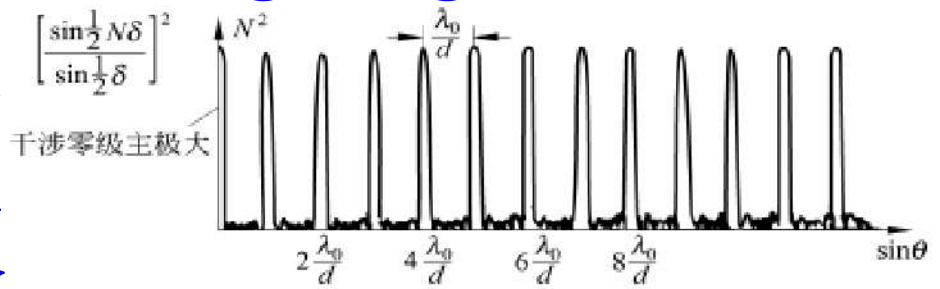
6.6.2 闪耀光栅 — Blazed gratings

1. 普通平面光栅的矛盾

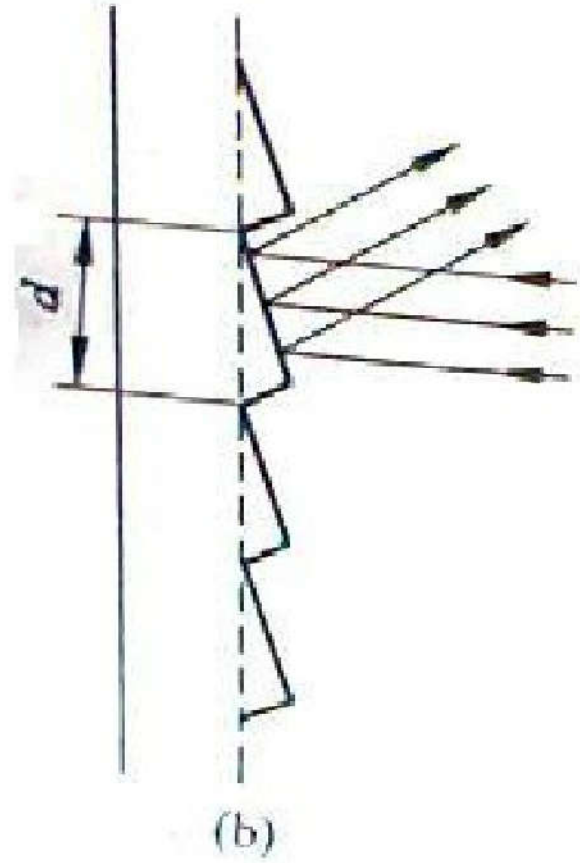
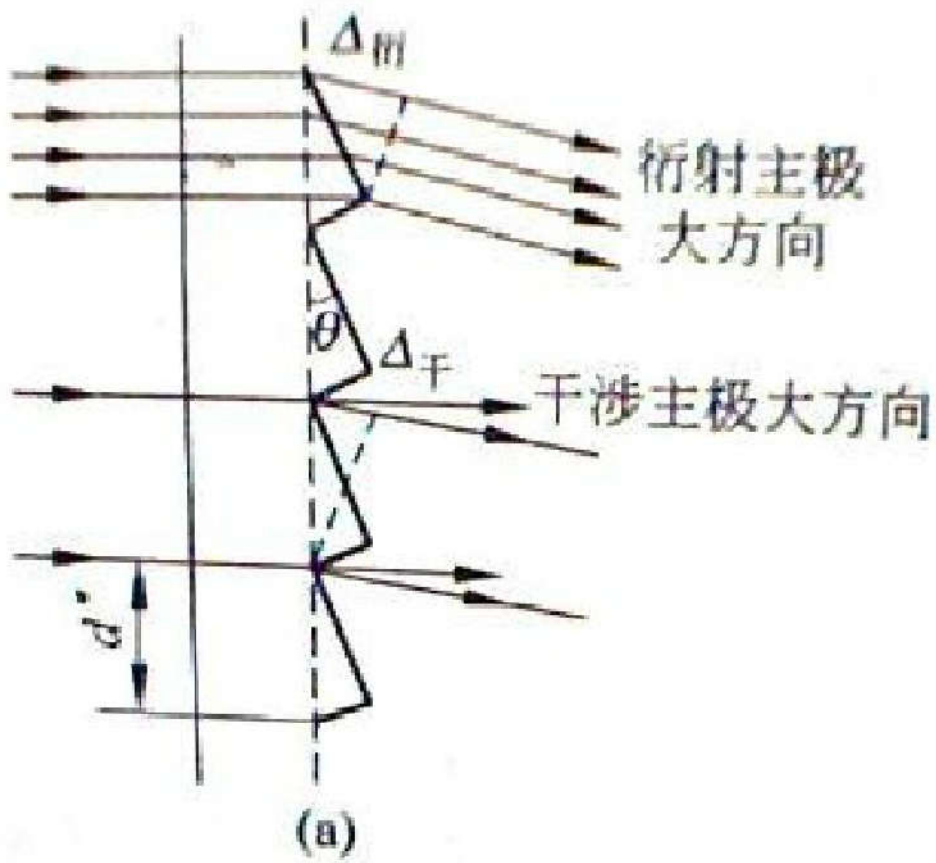
(A). 衍射零级和干涉零级的空间位置重合

—— 零级集中了绝大部分入射光能，但无色散能力，色散能力较强的高级次条纹强度极弱。

(B). $d \gg a$ ，可能存在多级干涉主极大，分散光能。

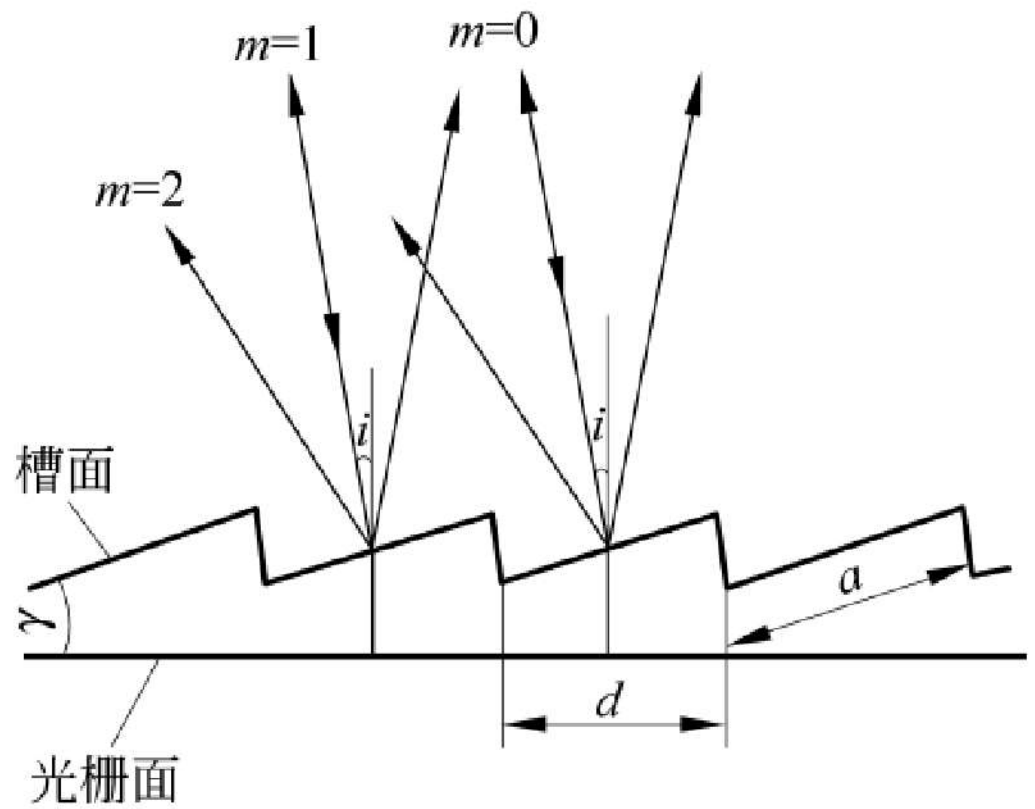


2. 闪耀光栅结构

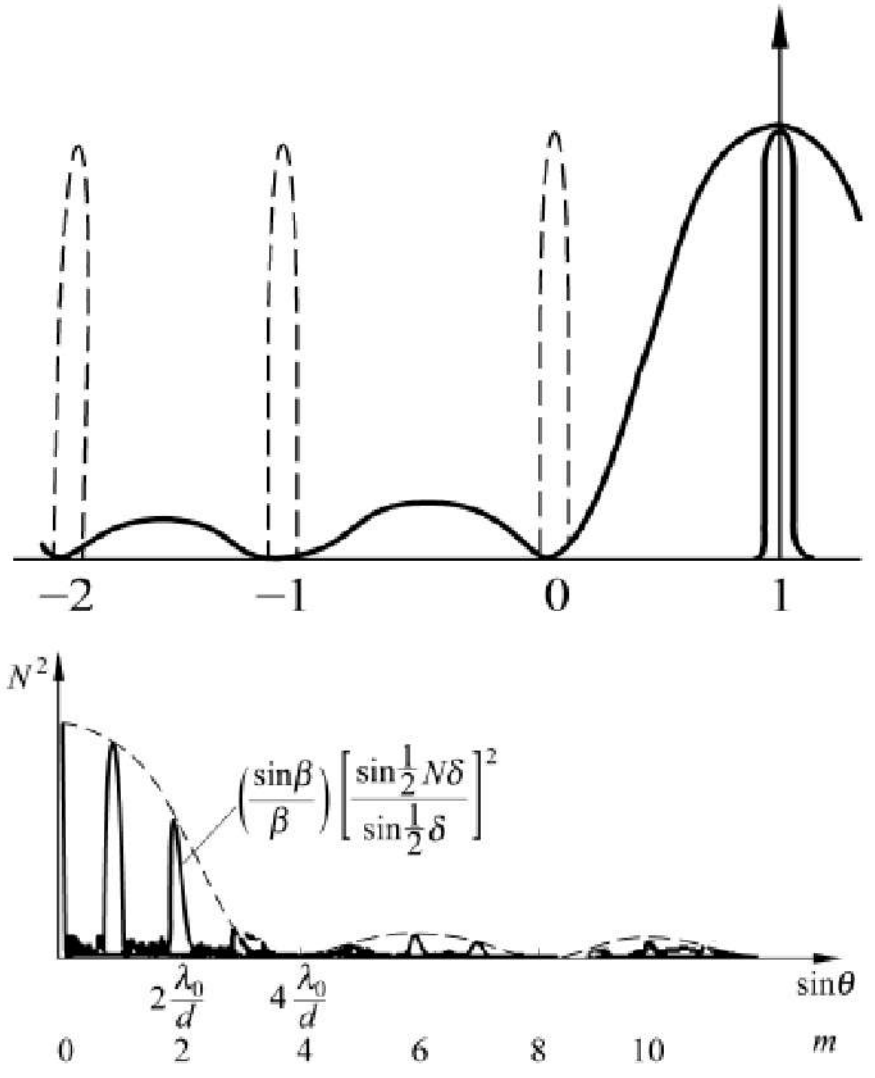


(A). 闪耀角 γ

干涉零级主极大
与衍射零级
空间位置分开



(B) $a \sim d$, 一衍射级内只有约一级干涉主极大, 其它级次光谱都几乎和单个刻槽面衍射的极小位置重合, 光谱强度很小, 故入射光能主要都集中在落于衍射主极大内的这级干涉主极大内.



3. 主闪耀条件

* 闪耀极大条件 $2d \sin \gamma \cos \alpha = m\lambda$ α 为入射光与光栅面法线夹角

* 垂直槽面入射 $2d \sin \gamma = m\lambda_m$ (6-59)
 λ_m ----- 闪耀波长

* 主闪耀条件($m=1$) $\lambda_b = 2d \sin \gamma$ (6-60)

$m=1$ 时的闪耀波长称为主闪耀波长。

* 一般光栅给出的闪耀波长 λ_b 都是指一级（主）闪耀波长；但对 $\lambda_b/2$ 、 $\lambda_b/3$... 也呈现“闪耀”

6.7 菲涅耳衍射 Fresnel diffraction

* 条件 在菲涅耳近似成立的距离范围内的衍射

* 处理方法 比较简单,物理概念很清晰的近似方法

---菲涅耳波带法(代数加法)或振幅矢量加法(图解法)。

夫琅和费近似

$$r = z_1 \left\{ 1 + \left[\frac{(x-x_1)}{z_1} \right]^2 + \left[\frac{(y-y_1)}{z_1} \right]^2 \right\}^{1/2}$$

$$z \gg (x_1^2 + y_1^2) / \lambda$$

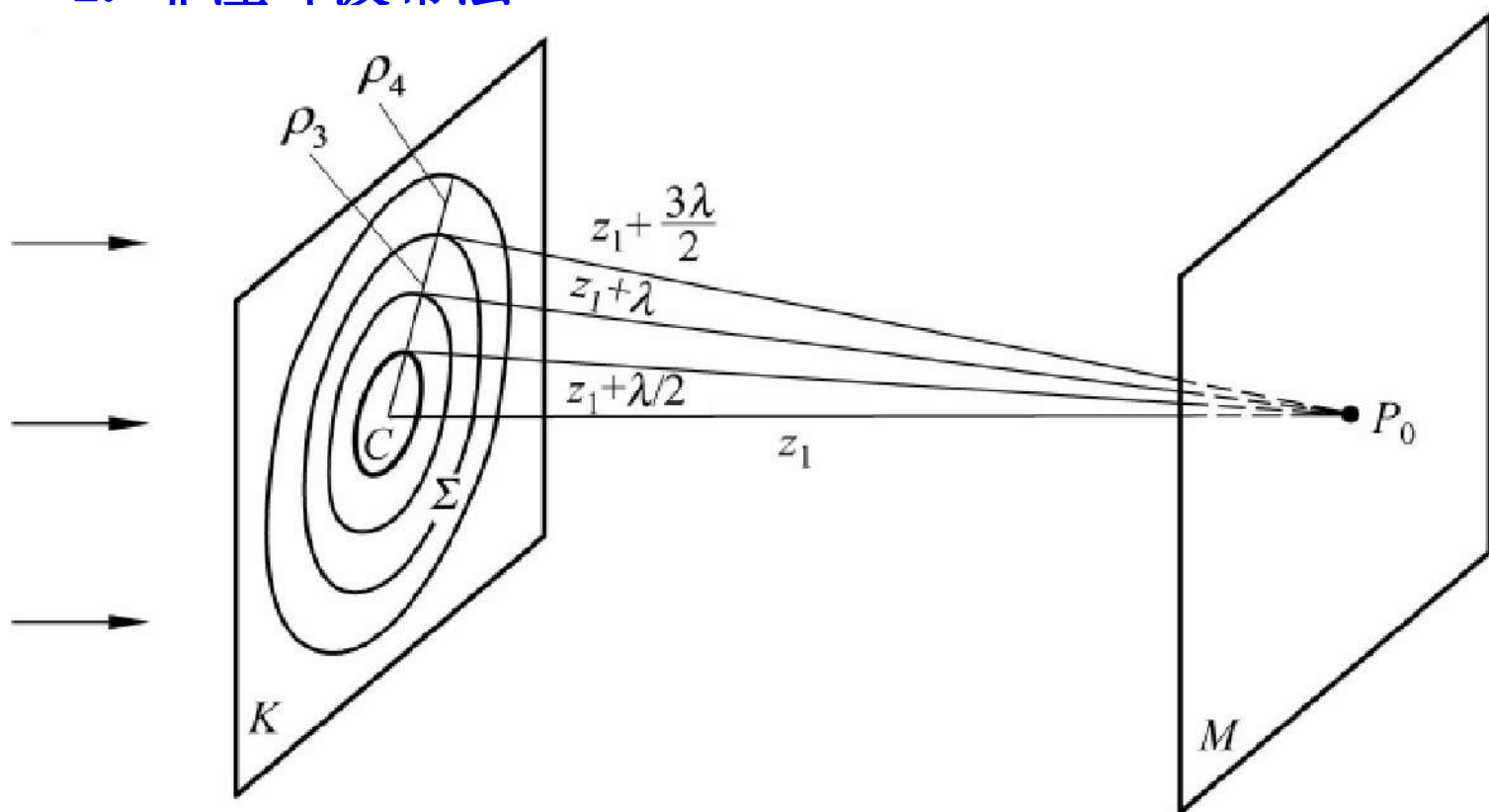
$$\approx z_1 \left\{ 1 + \frac{1}{2} \left[\frac{(x-x_1)^2 + (y-y_1)^2}{z_1^2} \right] \right\}$$

$$= z_1 + \frac{x^2 + y^2}{2z_1} - \frac{xx_1 + yy_1}{z_1} + \frac{x_1^2 + y_1^2}{2z_1}$$

菲涅耳近似

6.7.1.菲涅耳波带法及圆孔、圆屏衍射

1. 菲涅耳波带法



(A) 菲涅耳半波带

$$r_1 = z_1 + \lambda/2$$

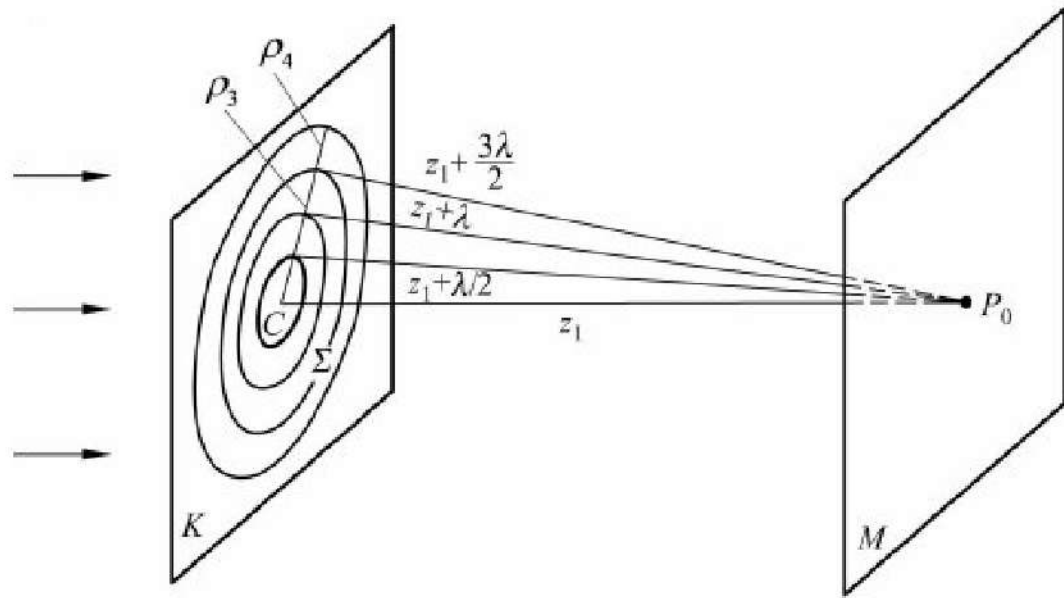
$$r_2 = z_1 + 2\lambda/2$$

.....

$$r_N = z_1 + N\lambda/2$$

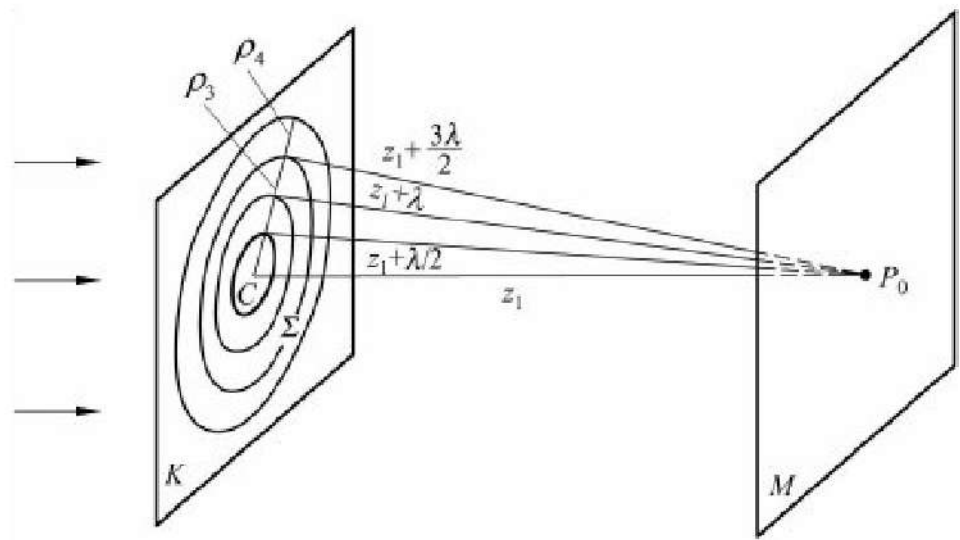
以 P_0 为中心，以 r_1, r_2, \dots, r_N 为半径，在波面 Σ 上作圆，把波面 Σ 分成 N 个

环带，相邻两个环带上相应点到 P_0 的光程差为半个波长，这样的环带就称为**菲涅耳半波带**。



第 j 个波带在 P_0
点产生的振幅

(6-60)



C 是比例常数, r_j 是第 j 带到 P_0 点距离,

A_j 是第 j 波带的面积, 即波面上半径分别为 ρ_j 和 ρ_{j-1} 的两个圆的面积之差

(1) 半波带面积

$$\rho_j = \left[\left(z_1 + j \frac{\lambda}{2} \right)^2 - z_1^2 \right]^{1/2} = \sqrt{jz_1\lambda} \left[1 + \frac{j\lambda}{4z_1} \right]^{1/2} \quad (6-65)$$

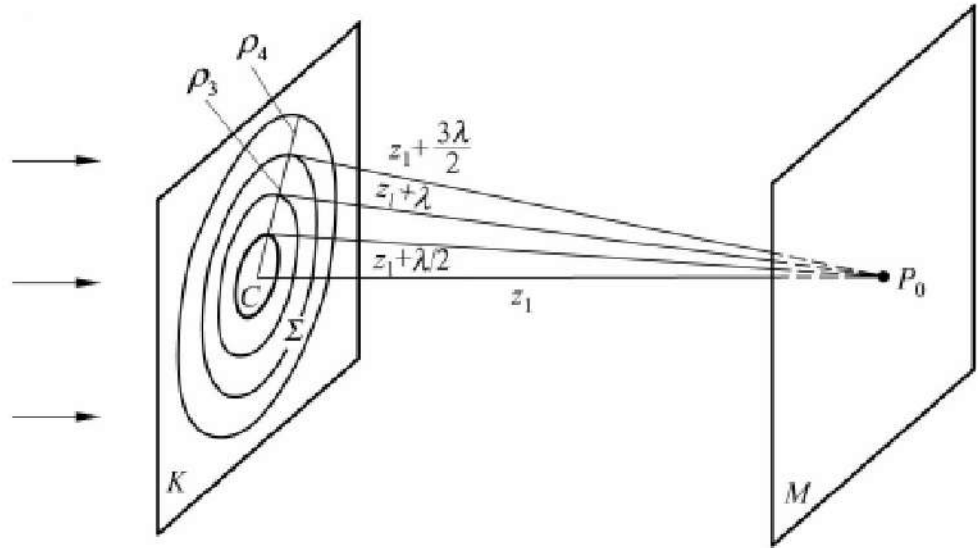
$z_1 \gg \lambda$ 时,

$$\rho_j \approx \sqrt{jz_1\lambda} \Rightarrow$$

$$A_j = \pi\rho_j^2 - \pi\rho_{j-1}^2$$

$$\approx \pi z_1 \lambda \quad (6-67)$$

各波带面积近似相等



(2) 倾斜因子

$$K_j(\theta) = \frac{1 + \cos \theta_j}{2}$$

$j \nearrow$, $K_j(\theta)$ 单调减小, 但变化缓慢

设 $z_1 = 1 \text{ m}$ 、 $j = 4000$ 时.

$K_j(\theta)$ 也只降2%, 即 $K_{4000}(\theta) = 0.98K_1(\theta) \dots$

(3) $(1/r_j)$ 因子与倾斜因子有类似的变化性质

↗ 时 和 单调减小，但变化缓慢

各波带在 P_0 产生的振幅将随 j 增大而单调减小，但变化缓慢，即

$$|\tilde{E}_1| > |\tilde{E}_2| > |\tilde{E}_3| > \dots$$

相邻波带的振幅仅相差万分之一左右

$$|\tilde{E}_2| = \frac{|\tilde{E}_1|}{2} + \frac{|\tilde{E}_3|}{2}, \quad |\tilde{E}_4| = \frac{|\tilde{E}_3|}{2} + \frac{|\tilde{E}_5|}{2}, \quad \dots$$

相

 \tilde{E}

$$= \tilde{E}_1 + \tilde{E}_2 + \tilde{E}_3 + \dots$$

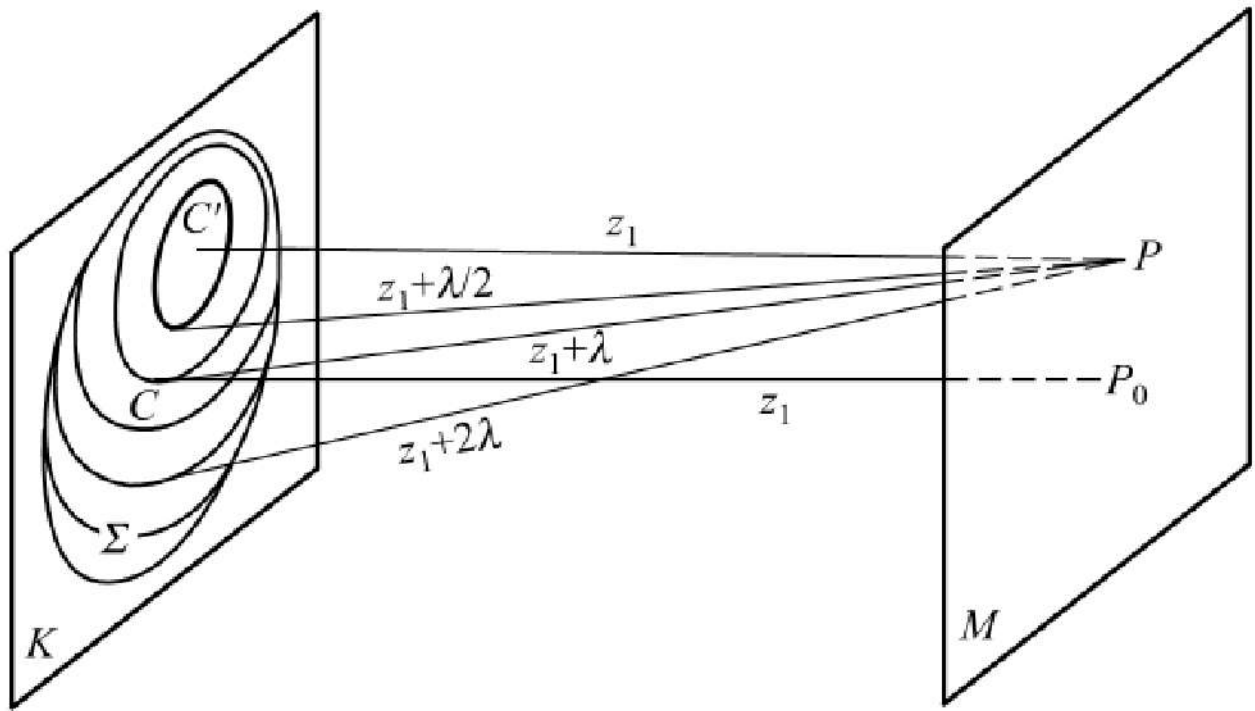
$$\tilde{E} = \begin{cases} \frac{|\tilde{E}_1|}{2} + \frac{|\tilde{E}_n|}{2} & n \text{ 为奇数} \\ \frac{|\tilde{E}_1|}{2} - \frac{|\tilde{E}_n|}{2} & n \text{ 为偶数} \end{cases} \quad (6-69)$$

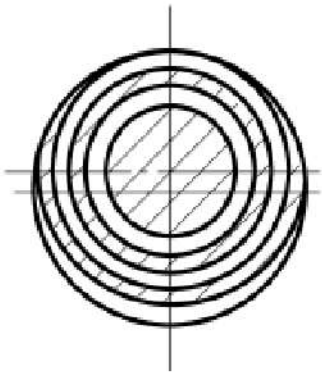
讨论

$$\tilde{E} = \begin{cases} \frac{|\tilde{E}_1|}{2} + \frac{|\tilde{E}_n|}{2} & n \text{ 为奇数} \\ \frac{|\tilde{E}_1|}{2} - \frac{|\tilde{E}_n|}{2} & n \text{ 为偶数} \end{cases} \quad (6-69)$$

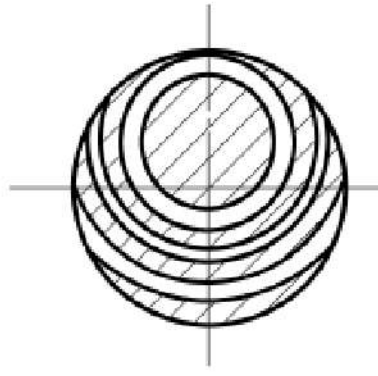
- * 若逐渐开大或缩小圆孔，在 P_0 点将明暗交替变化
- * 观察屏沿光轴 CP_0 平移，在 P_0 点将明暗交替变化
- * $n \rightarrow \infty$ 时， $E_n \rightarrow 0$ 、 $E = E_1 / 2$

2. 圆孔衍射图样

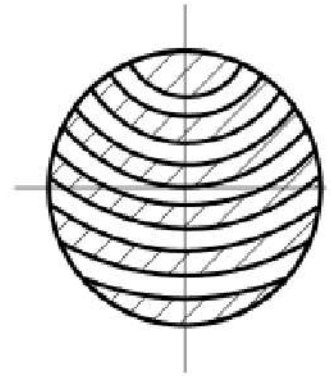




(a) 含 4 个完整半波带



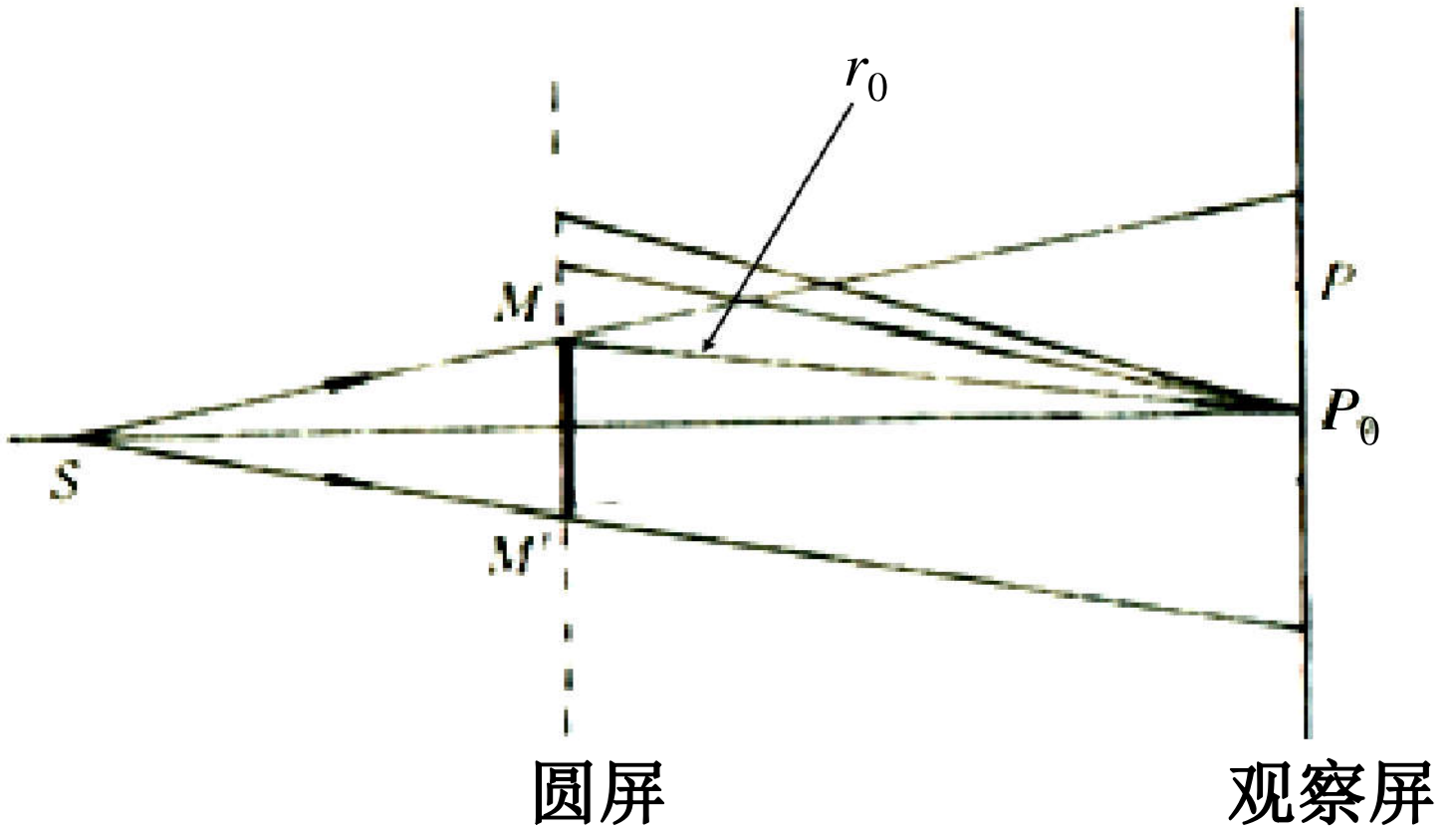
(b) 含 2 个完整半波带



(c) 无完整半波带

- * P 点光强不仅取决于波带的数目，也取决于每个波带露出部分的面积
- * 衍射图样是一组亮暗交替的同心圆环，中心可能亮也可能暗

3. 圆屏的菲涅耳衍射



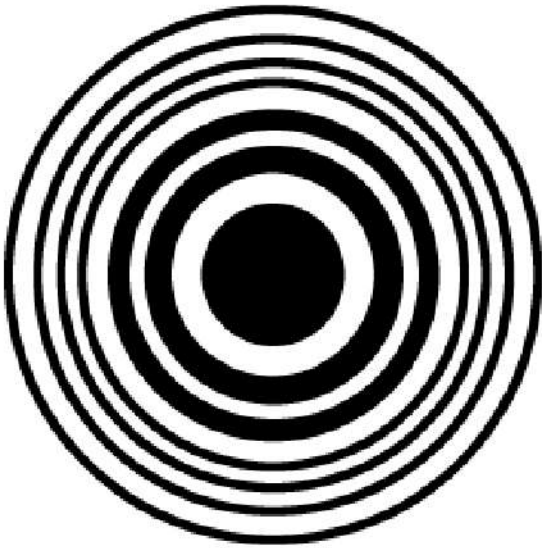
衍射图样

P_0 点总“亮”不“暗” ----波动理论的强力证据

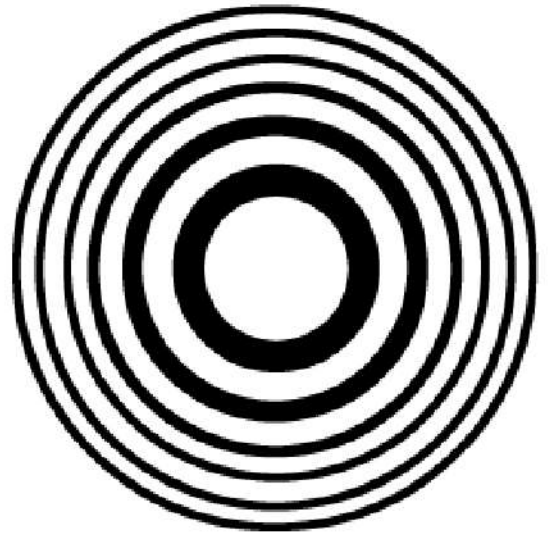
也采用波带法,但要注意 $\tilde{E}_{n \rightarrow \infty} \rightarrow 0$

- * P_0 总“亮”不“暗”,复振幅应为第1波带复振幅的一半,强度为第1波带强度的 $1/4$ 。
----波动理论的强力证据
- * 中心为亮点,周围有一些亮暗相间的圆环条纹
- * 当圆屏较大时,第1波带对 P_0 点的作用甚微, P_0 强度接近于零

6.7.2 菲涅耳波带片



(a) 挡住奇数波带

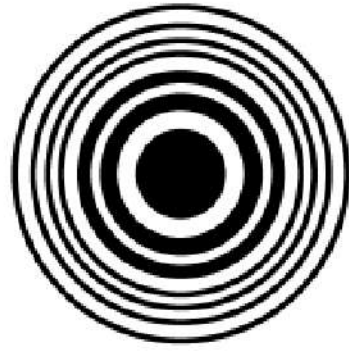


(b) 挡住偶数波带

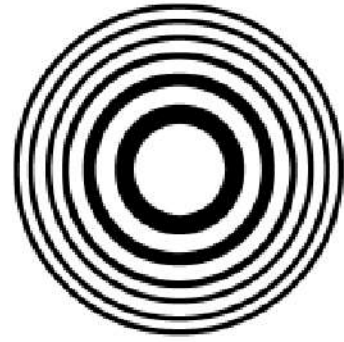
1. 原理、结构

* 相邻波带相位相反，作用相消

* 使偶(奇)数波带全被阻，奇(偶)数波带全



(a) 挡住奇数波带



(b) 挡住偶数波带

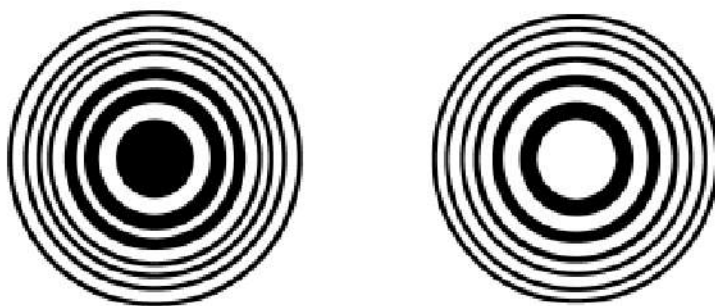
畅通，各通光波带复振幅将同相位叠加，呈现纯相长干涉， P_0 的振幅和光强会大大增加

* 设 $|\tilde{E}_\infty|$ 为无光阑时 P_0 的振幅，10个偶/奇数波带通光

$$|\tilde{E}| = |\tilde{E}_1| + |\tilde{E}_3| + \cdots + |\tilde{E}_{19}| \approx 10|\tilde{E}_1| = 20|\tilde{E}_\infty|$$

$$I \approx (20|\tilde{E}_\infty|)^2 = 400I_\infty \quad \text{光强大幅度提高}$$

2. 焦距

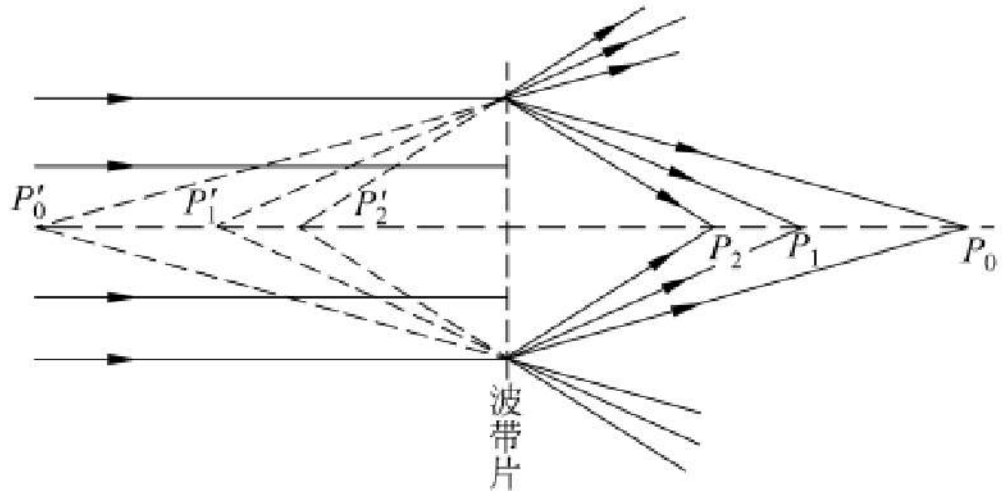


假设波带片是对应距离 z_1 点 P_0 而设计, 当用单色平面波垂直照明波带片时, P_0 将呈现一亮点, 与透镜的类似, 这亮点称为焦点, 而距离 z_1 就是焦距

j 波带的外圆半径 $\rho_j = \sqrt{jz_1\lambda}$

因此, 焦距 $f = z_1 = \frac{\rho_j^2}{j\lambda}$ (6-71)

3. 特点



(A)存在“焦点”-----与透镜类似

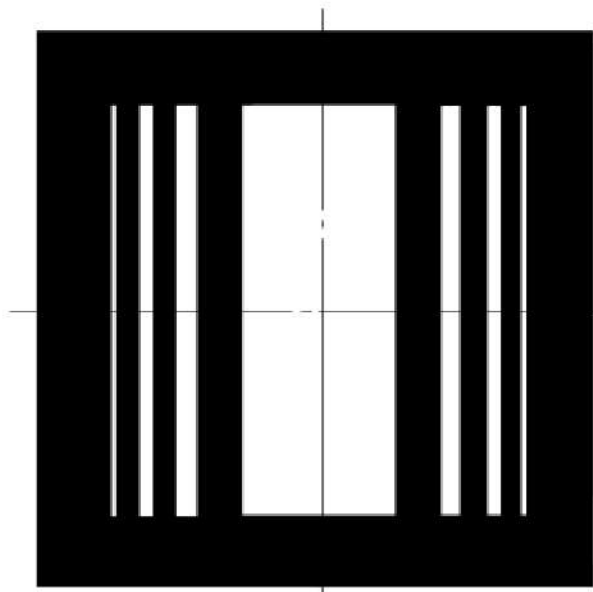
(B)与一般透镜有差别

“焦点”不唯一;“焦距”与波长有关

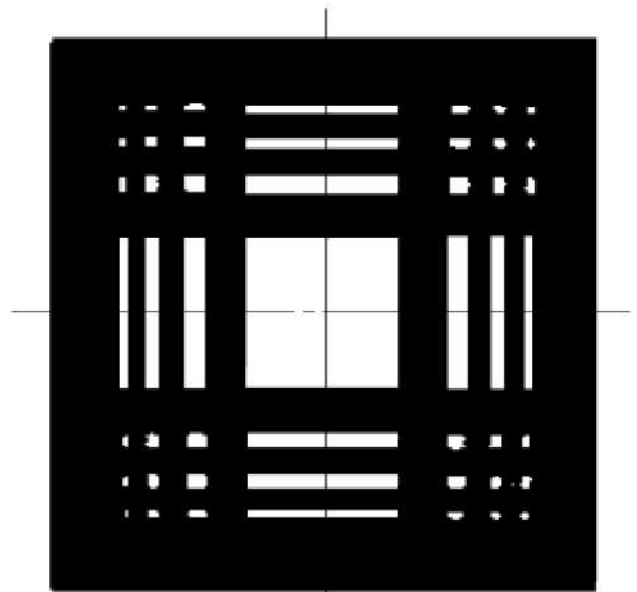
(C)色差大

(D) 适应波段范围宽

4. 条/方形波带片

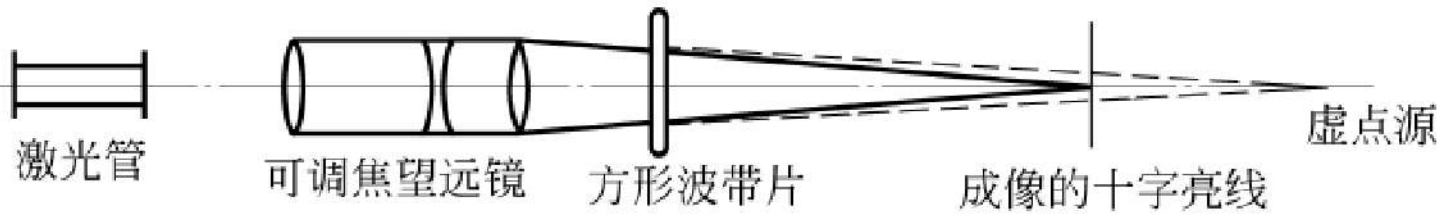


(a) 长条形波带片



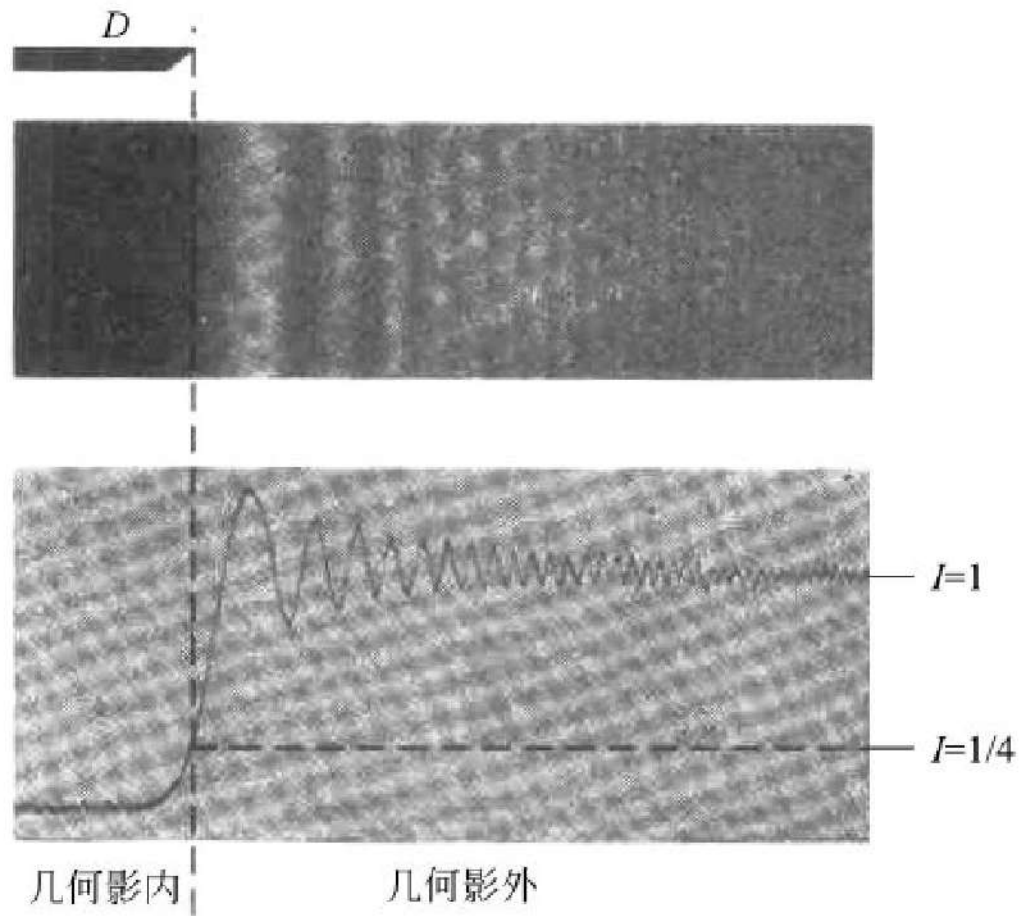
(b) 方形波带片

应用

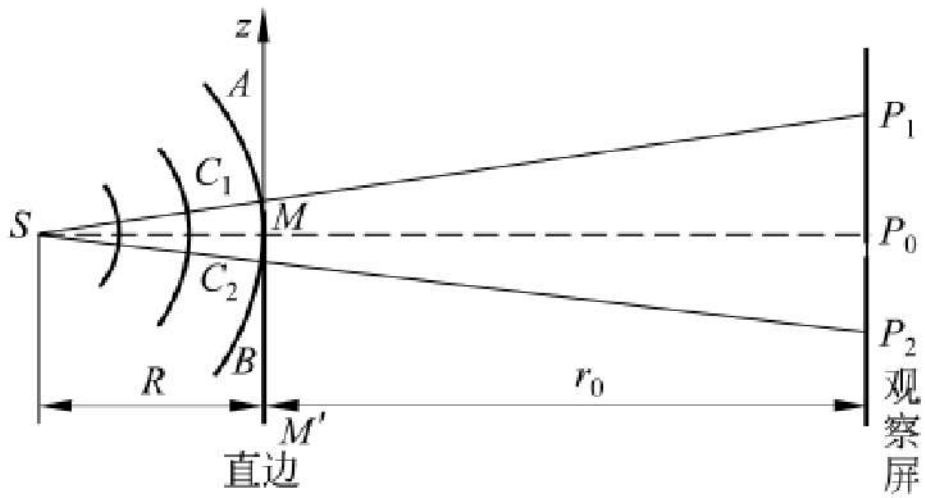


6.7.3 菲涅耳直边衍射

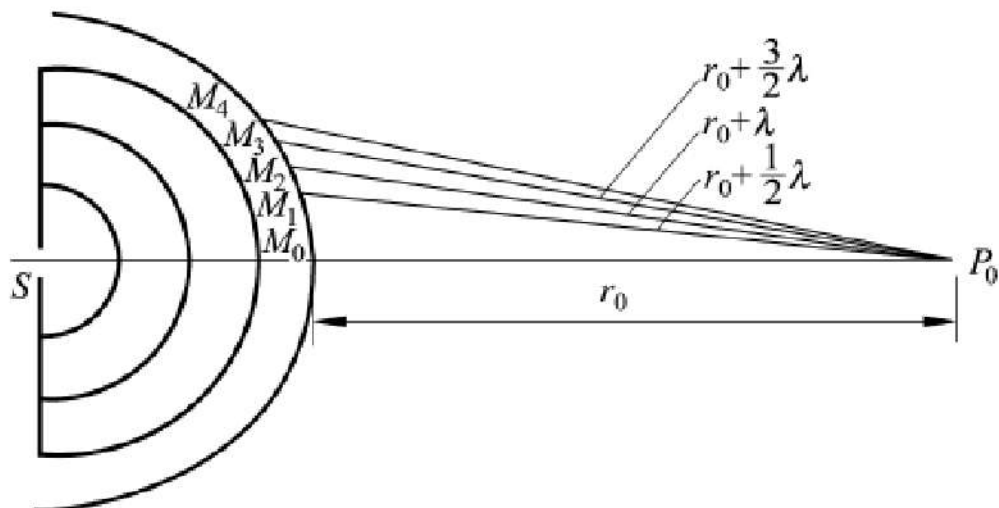
平面或柱
面光波通
过与其传
播方向垂
直的不透
明直边



1. 振幅矢量加法

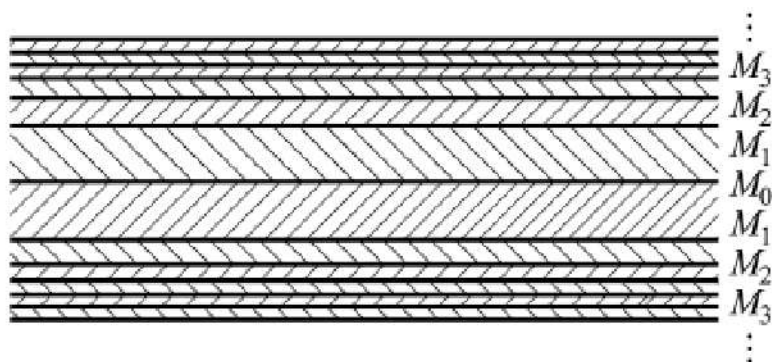


菲涅耳直边衍射



(a) 波面分解成半波带

以 SM_0P_0 为中线，将柱面波的波面分成许多直条状半波带



(b) 半波带形状

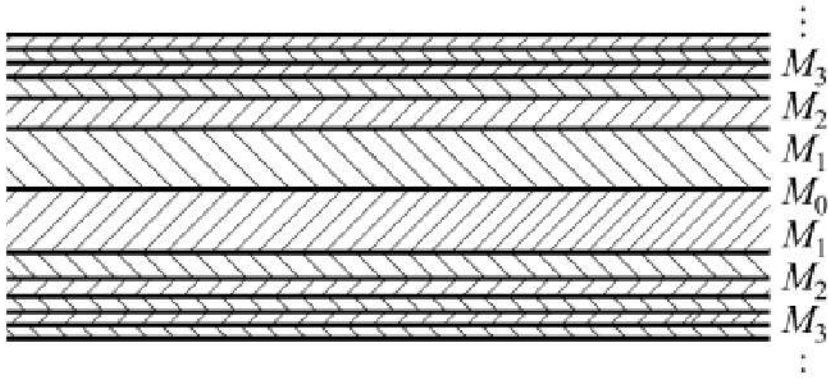
$$P_0M_0 = r_0$$

$$P_0M_1 = r_0 + \frac{\lambda}{2}$$

$$P_0M_2 = r_0 + \frac{2\lambda}{2}$$

⋮

波带振幅



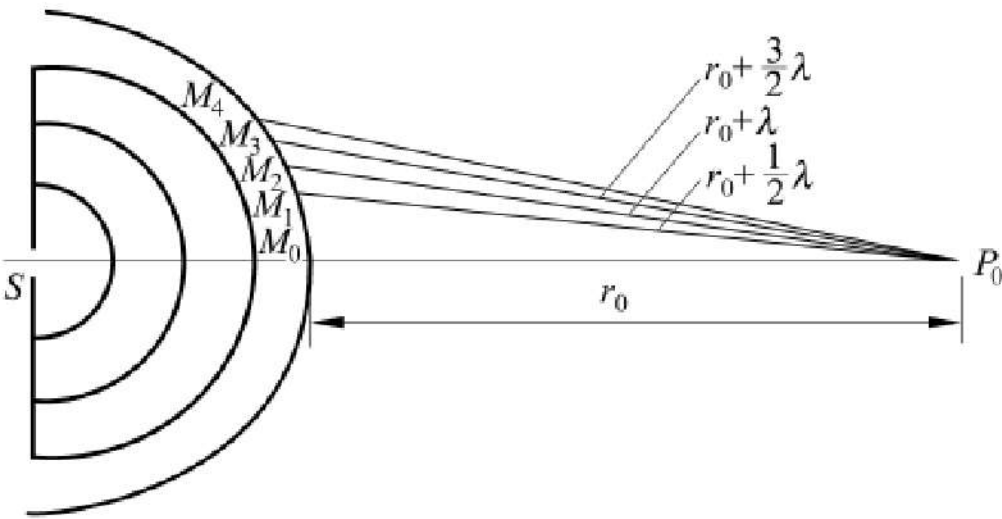
随波带序数增大

面积减小

距离增大

倾角加大

振幅迅速下降

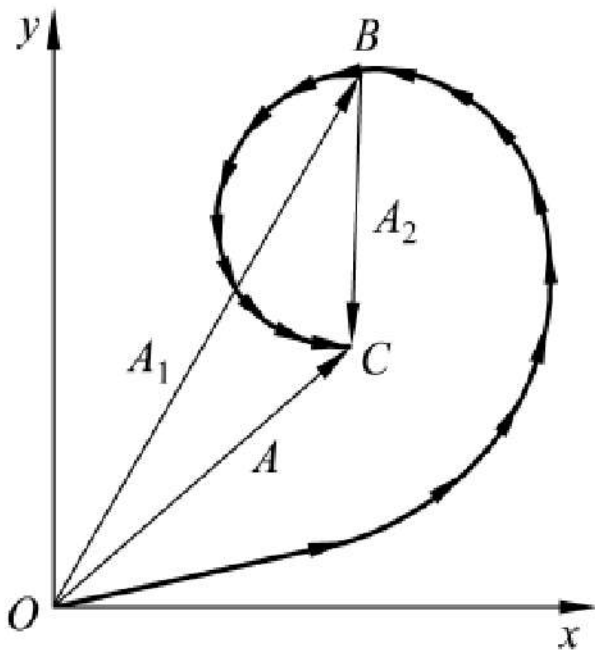


波带再分, 矢量叠加

按相邻带间相位差相等原则, 将第一半波带分成 9 条波带元, 将各波带元在 P_0 的场矢量 $\Delta a_1, \Delta a_2, \dots, \Delta a_9$ 矢量叠加, 即得第一半波带在 P_0 的振幅矢量 A_1

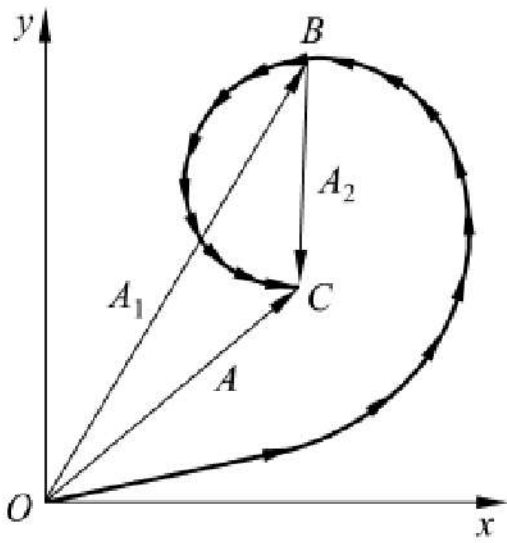
同样可得第二, 三, 四等半波带在 P_0 的光场矢量

$$A_2, A_3, A_4 \dots$$

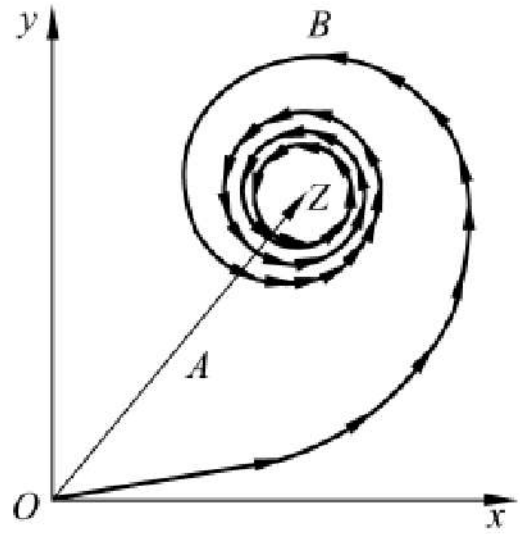


(a) 第一二个半波带的合振幅

无限细分,光滑曲线

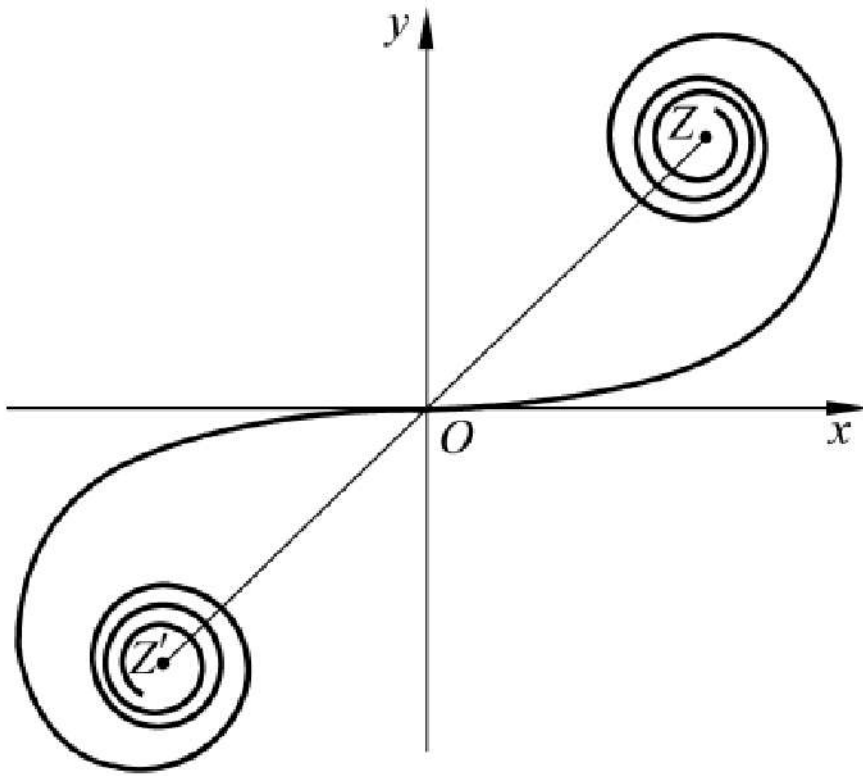


(a) 第一二个半波带的合振幅

(b) 上半个波面对 P_0 点产生的合振幅

把各波带无限细分，并作矢量叠加，就得到趋于 Z 的光滑曲线，矢量 $A=OZ$ 表示上半个波面的光场振幅。

上下对称, 科纽(Cornu)螺线



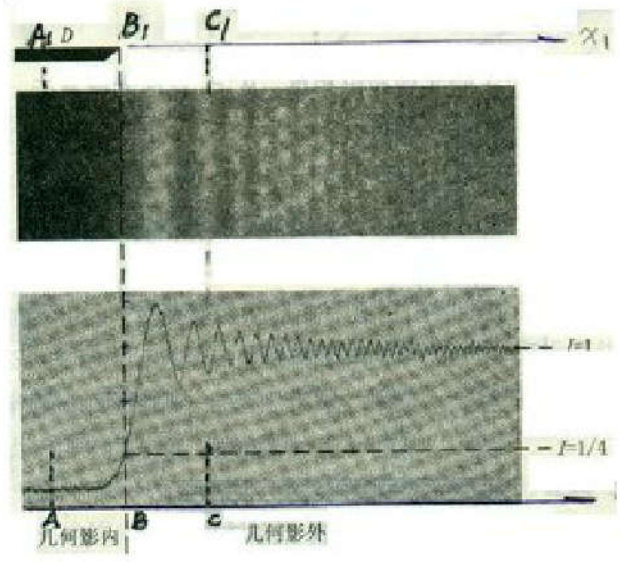
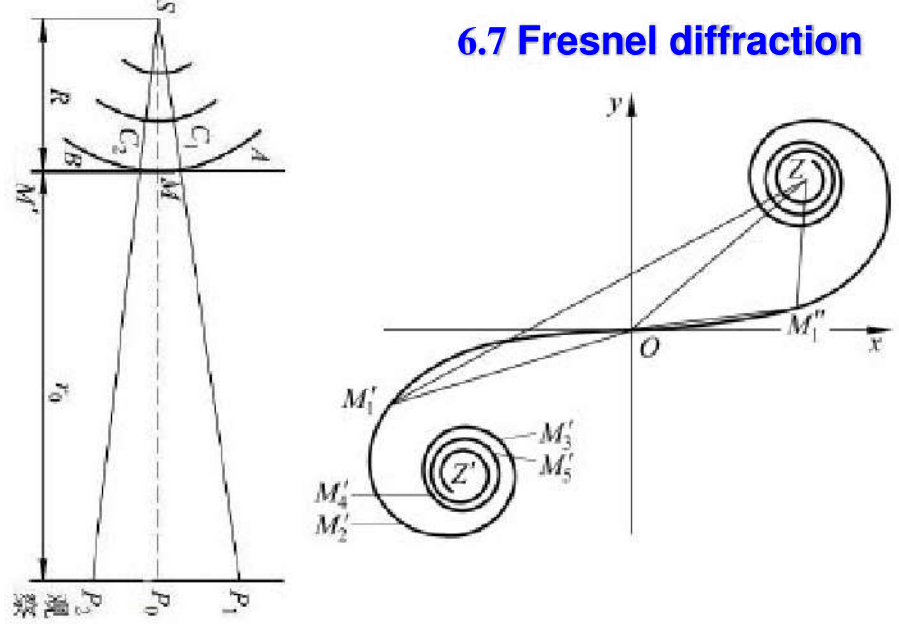
下半个波面, 可在第三象限画出一条对应的曲线, 上下两部分合成科纽螺线, 连线 $Z'Z$ 表示整个波面在 P_0 的光振幅。

2. 菲涅耳直边衍射

6.7 Fresnel diffraction

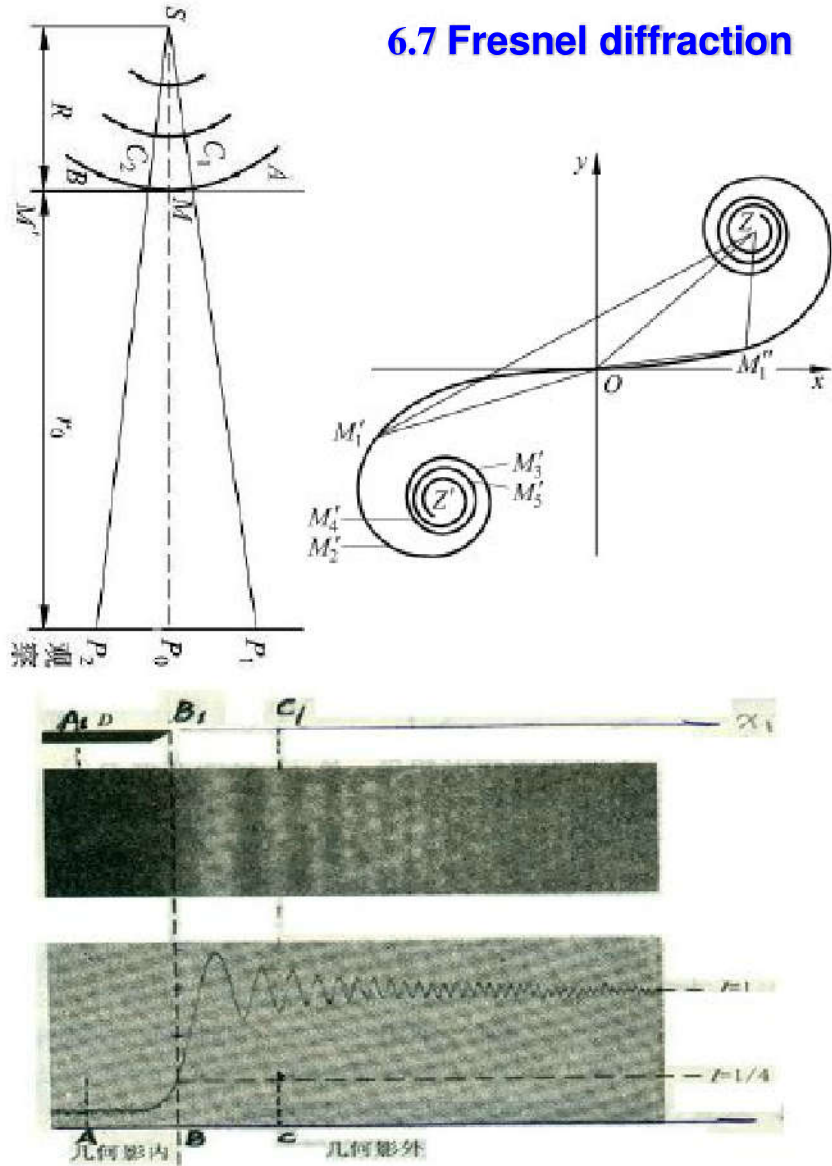
(A)光源与直边边缘
连线上的点 P_0

下半波面全遮住，
上半波面对 P_0 产生
作用，所以，光振幅 \underline{OZ} 为无任何遮挡
时 $\underline{Z'Z}$ 的一半，而
光强为其 $1/4$ 。



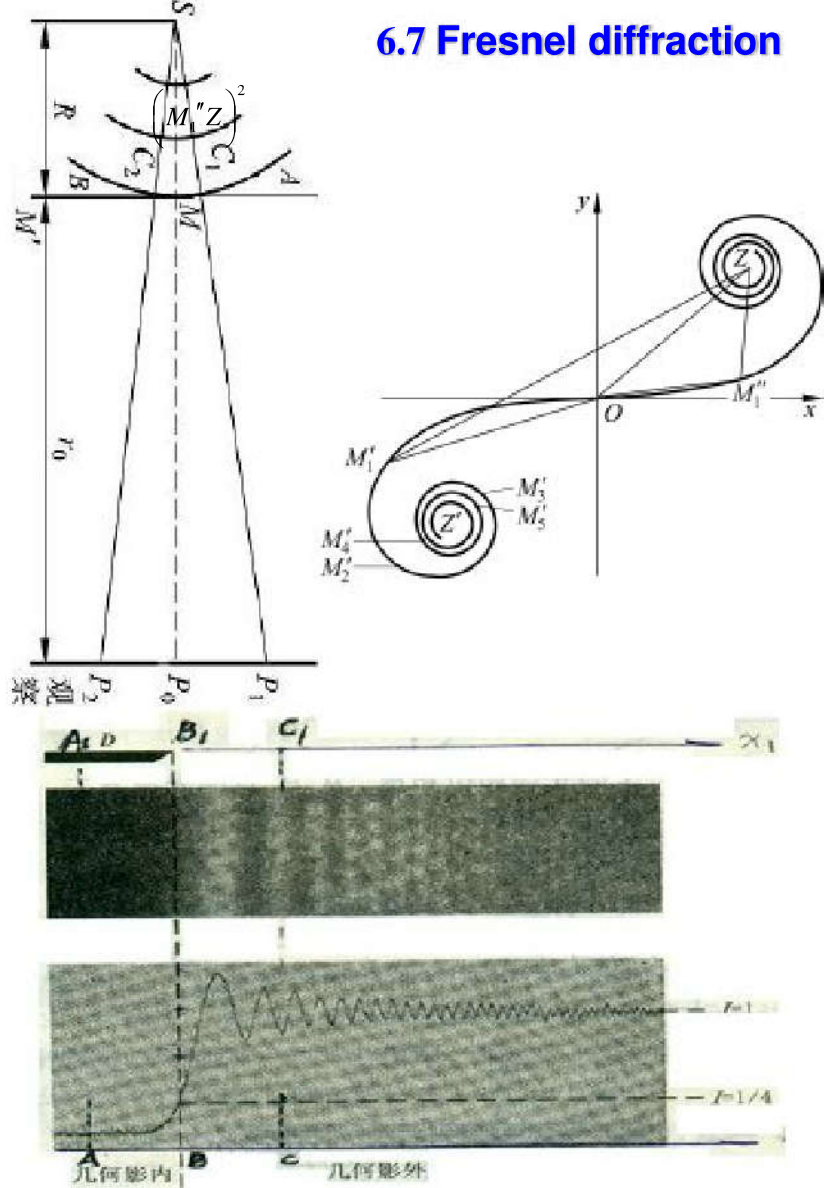
(B)几何阴影界外 P_1

- * 由 C_1 开始分半波带;
- * C_1 以外半个波面, 全不受遮, 光场为 \overline{OZ} ;
- * C_1 以内的半个波面, 部分被遮, 光场为 $\overline{M_1'O}$;
- * P_1 总的光场为 $\overline{M_1'Z}$;
- * P_1 离 P_0 越远, M_1' 点越接近 Z' 。
- * 光强波动:
几何阴影界外靠 P_0 处呈亮暗相间的衍射条纹, 离 P_0 足够远的地方, 光强基本均匀分布。

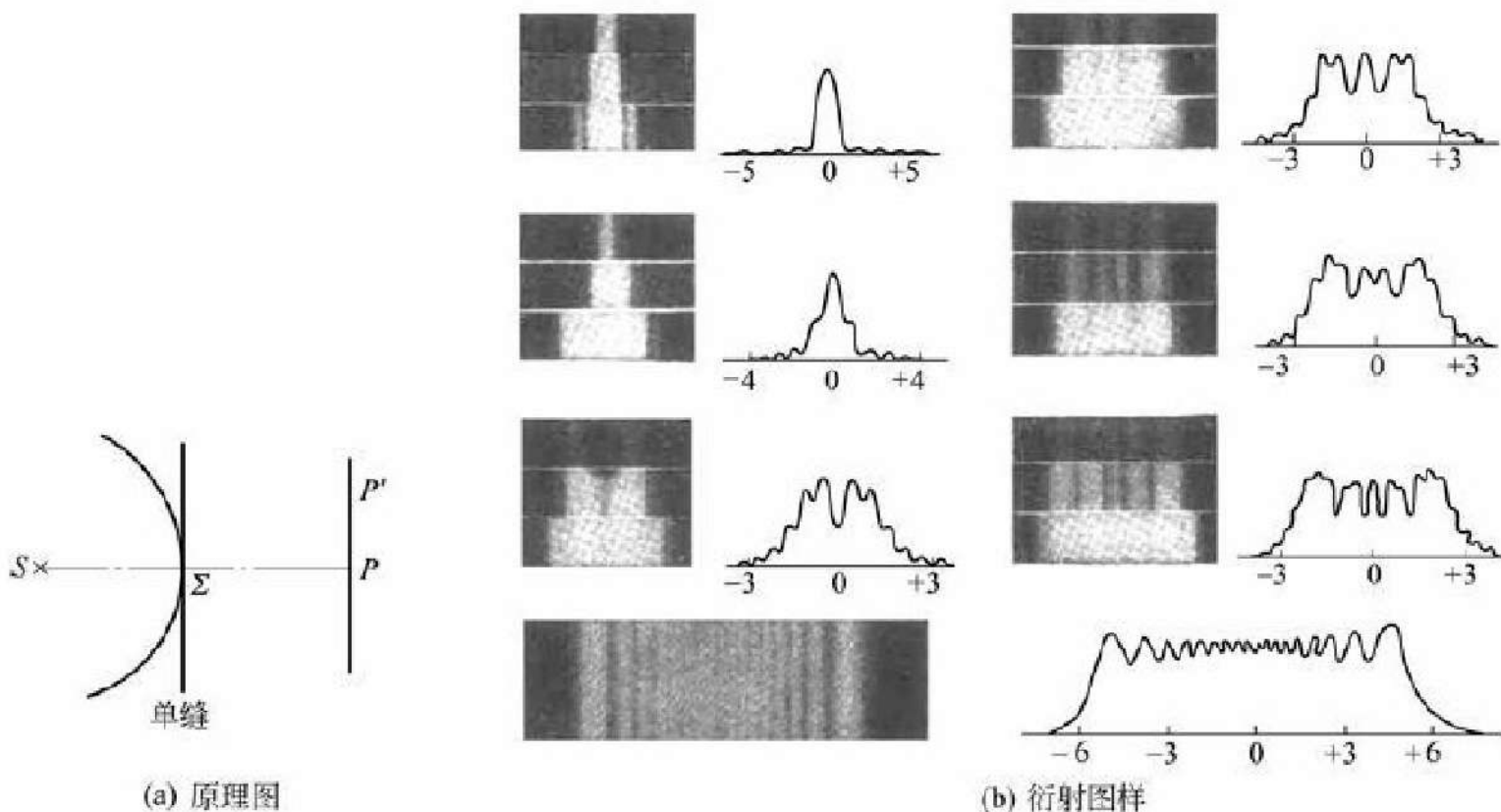


(C) 几何阴影界内 P_2

- * C_2 以左半个波面全被遮，以右半个波面也部分被遮。合光场矢量为 $\overline{M_1''Z}$ ；
- * P_2 离 P_0 越远， M_1'' 越近 Z ，光强单调减小；
- * 当 P_2 离 P_0 足够远时，光强度趋近于零。



3. 菲涅耳单缝衍射



单缝每一边如一直边，露出部分波面的光场由通过科纽线得到，条纹强度分布与缝的宽度有关。

6.8 全息术 — holography

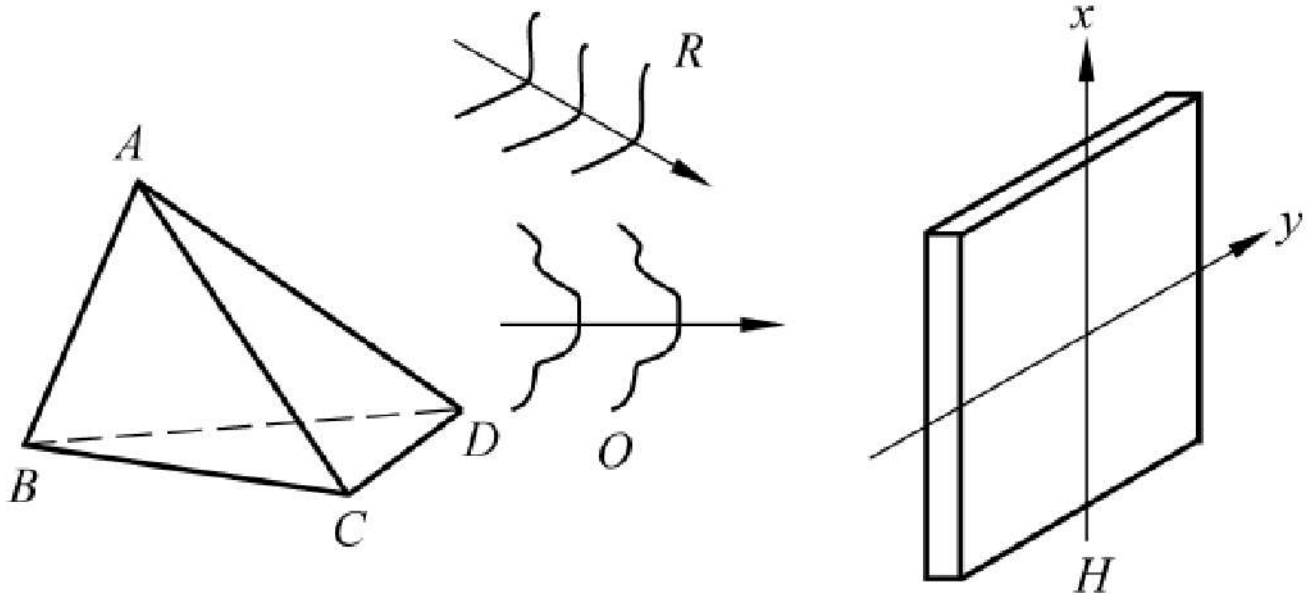
* D. Gabor 1948年提出；

1960年代激光出现，有了强相干性与高强度光源
全息术得到迅速发展和成功应用

* 利用干涉原理，将物体发出的特定光波以干涉条纹的形式记录下来，使物光波前的振幅和位相信息都贮存在记录介质中，所记录的干涉条纹图样被称为“全息图”。

6.8.1 全息术的原理

1. 物光波面的记录（干涉记录）



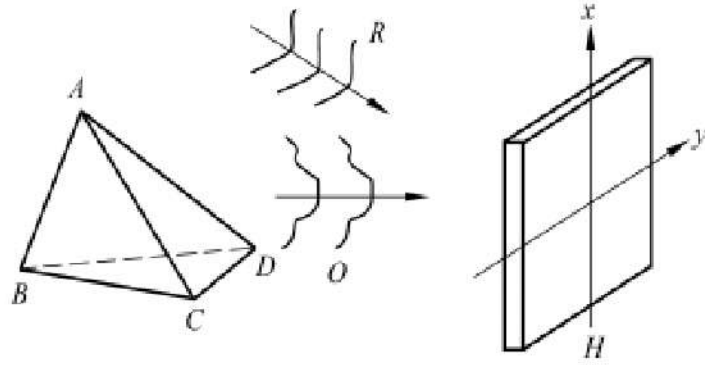
强度公式

$$\tilde{E}_o(x, y) = a_o(x, y) \exp[i\varphi_o(x, y)]$$

$$\tilde{E}_r(x, y) = a_r(x, y) \exp[i\varphi_r(x, y)]$$

$$a_o(x, y), a_r(x, y), \varphi_o(x, y), \varphi_r(x, y)$$

分别表示各波面的振幅和相位



$$I(x, y) = |\tilde{E}_o(x, y) + \tilde{E}_r(x, y)|^2$$

$$= |\tilde{E}_r(x, y)|^2 + |\tilde{E}_o(x, y)|^2 + \tilde{E}_r(x, y)\tilde{E}_o^*(x, y) + \tilde{E}_r^*(x, y)\tilde{E}_o(x, y)$$

$$= a_r^2 + a_o^2 + 2a_r a_o \cos(\varphi_r - \varphi_o) \quad (6-78)$$

公式意义

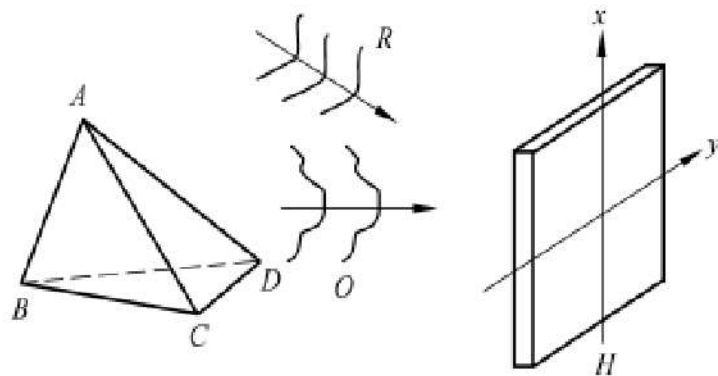
$$I(x, y) = a_r^2 + a_o^2 + 2a_r a_o \cos(\varphi_r - \varphi_o)$$

* 第一、二项的和表示平均强度；

* 第三项含物/参光波振幅和相位信息，表示条纹强度变化的幅度为 $2a_r a_o$ ，相位为 $\varphi_r - \varphi_o$ ；

* 条纹可见度的变化含物光波振幅信息，条纹的形状、间距含相位的信息。

* 干涉条纹反映了物光振幅和相位的全部信息。



全息图记录

$$I(x, y) = a_r^2 + a_o^2 + 2a_r a_o \cos(\varphi_r - \varphi_o)$$

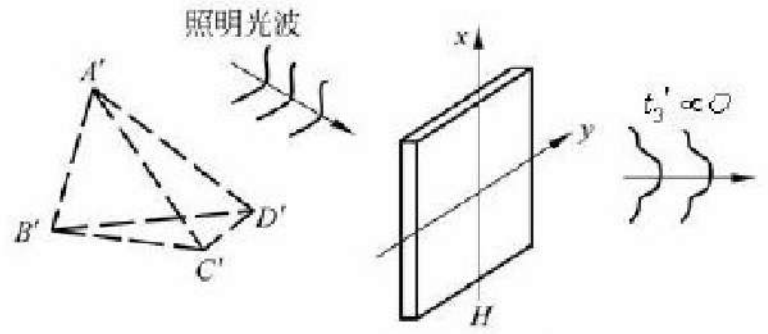
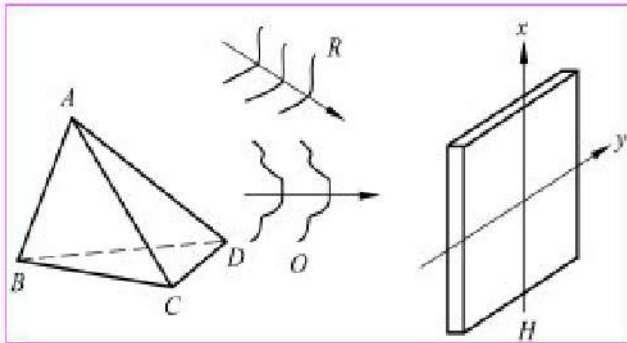
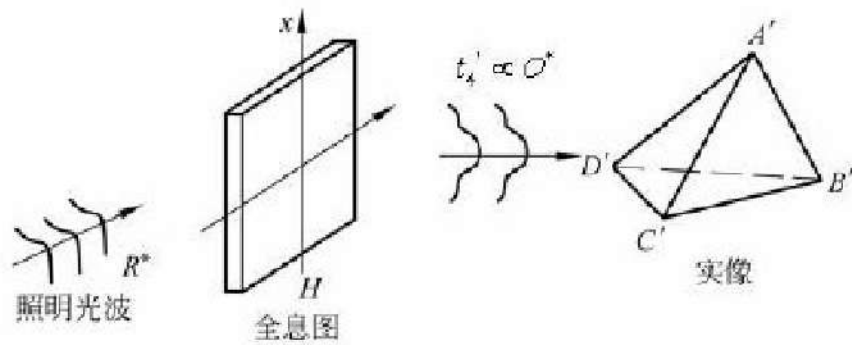
全息图的振幅透射系数 $t(x, y) = k_0 + k_1 I(x, y)$

k_0, k_1 是常数, $k_1 < 0$ 是负片, $k_1 > 0$ 是正片

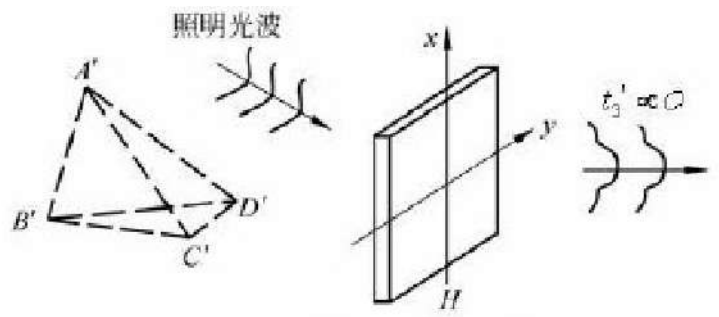
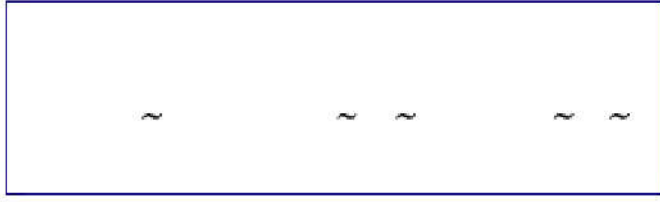
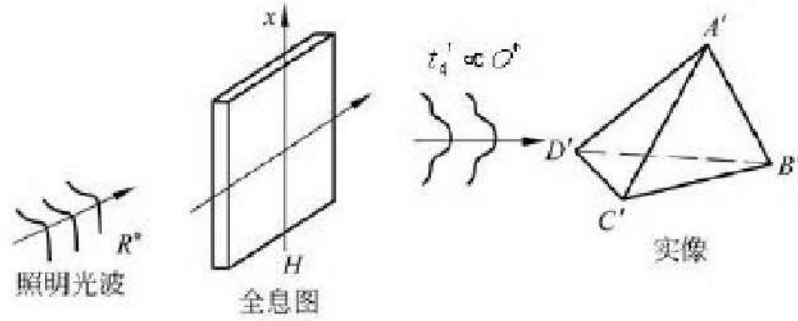
$I(x, y)$ 代入上式中, 则有

$$\begin{aligned} t &= (k_0 + k_1 |\tilde{E}_r|^2) + k_1 |\tilde{E}_0|^2 + k_1 \tilde{E}_r^* \tilde{E}_0 + k_1 \tilde{E}_r \tilde{E}_0^* \\ &= t_1 + t_2 + t_3 + t_4 \end{aligned} \quad (6-80)$$

2. 物光波面的重现 (衍射再现)

(a) 用参考光波 E_r 重现(b) 用与参考光共轭光波 E_r^* 重现

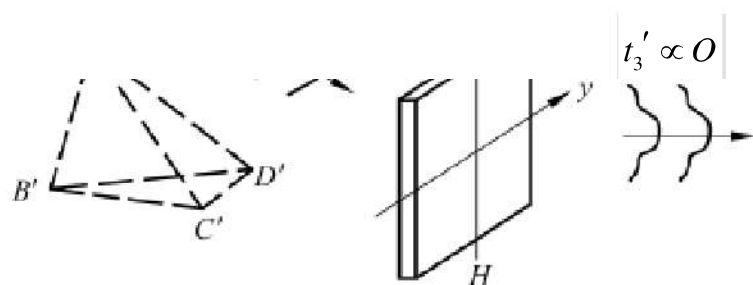
利用衍射原
理由全息图
重现物光波

\tilde{t} (a) 用参考光波 E_r 重现 t (b) 用与参考光共轭光波 E_r^* 重现

$$\begin{aligned}
 E'(x, y) &= \tilde{E}_r t \\
 &= \{k_0 + k_1 |\tilde{E}_r|^2\} \tilde{E}_r + k_1 |\tilde{E}_0|^2 \tilde{E}_r + k_1 |\tilde{E}_r|^2 \tilde{E}_0 + k_1 \tilde{E}_r^2 \tilde{E}_0^* \\
 &= t'_1 + t'_2 + t'_3 + t'_4 \quad (6-82)
 \end{aligned}$$

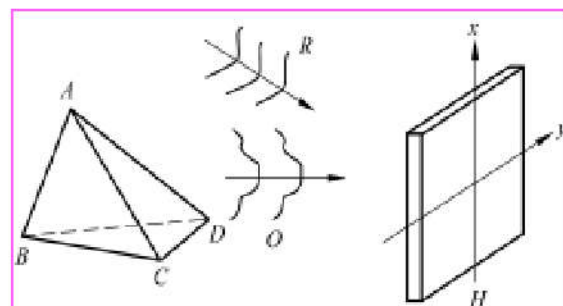
\tilde{E}_r 全息再现

物光波的共轭波，所成共轭像是与直接像不同方向失真的实像，称为**虚实像**

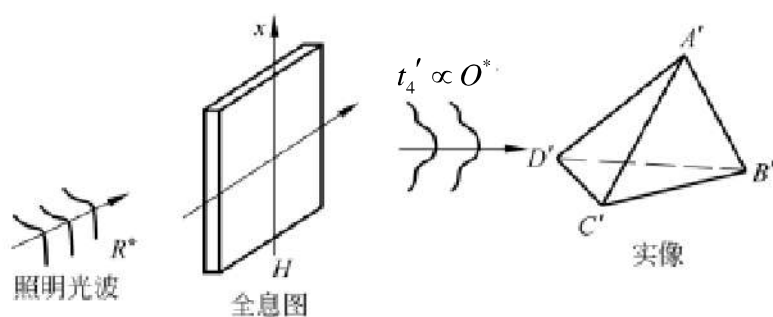


(a) 用参考光波 E_r 重现

代表不失真实像共轭像



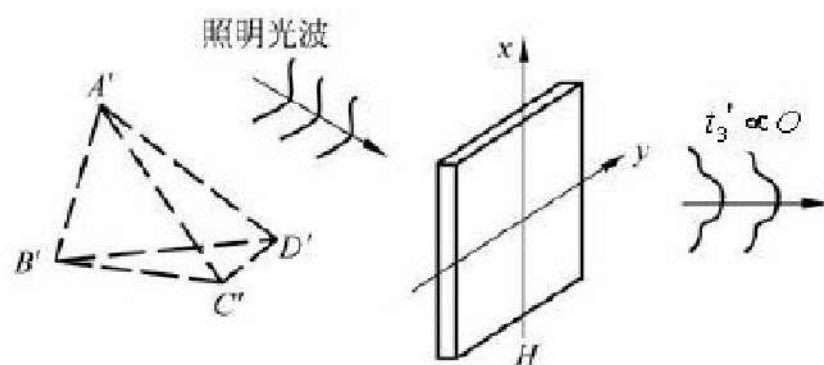
t_3' 代表失真的虚像



(b) 用与参考光共轭光波 E_r^* 重现

$$\tilde{E}_c = \tilde{E}_r$$

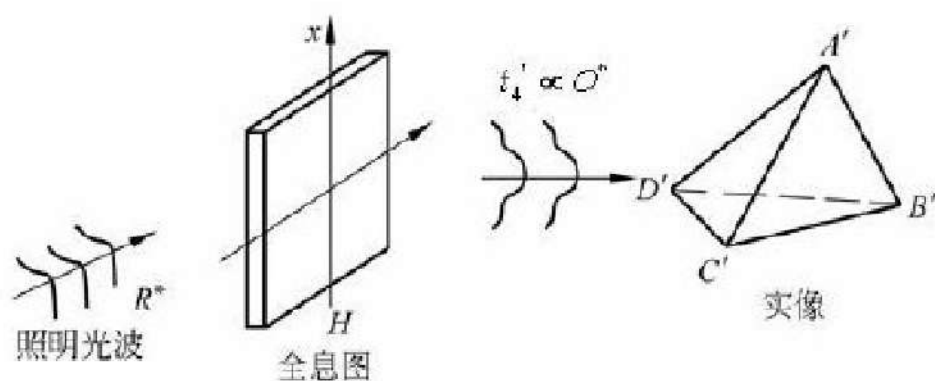
再现不失真**虚**像



(a) 用参考光波 E_r 重现

$$\tilde{E}_c = \tilde{E}_r^*$$

再现不失真**实**像



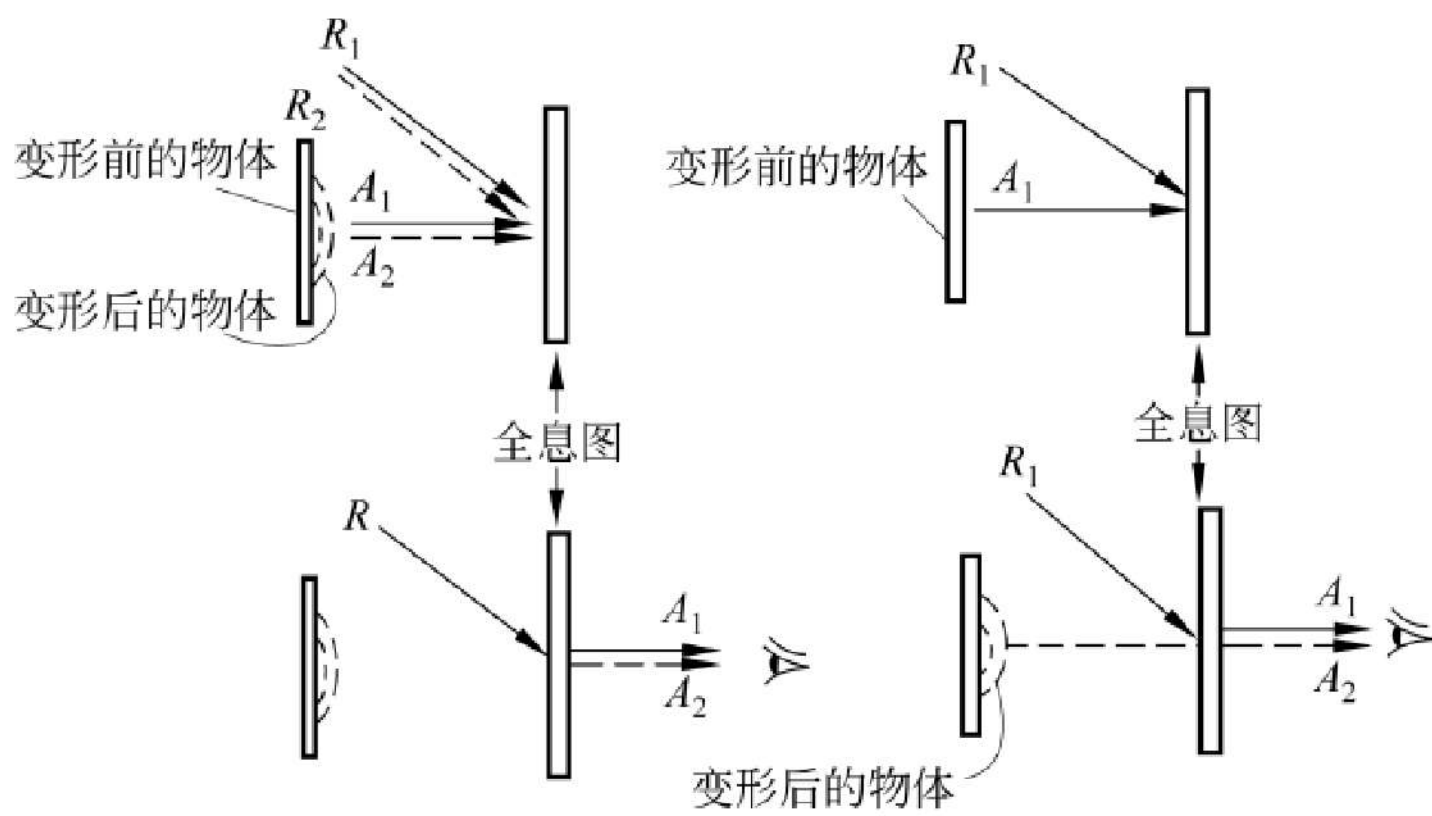
(b) 用与参考光共轭光波 E_r^* 重现

6.7.2 全息术的特点

1. 全息术能够记录物体光波振幅和相位的全部信息
2. 全息术实质上是一种干涉和衍射现象
3. 全息图的任何局部都能再现原物的基本形状
4. 无论底板正负，观察者看到的总是正像

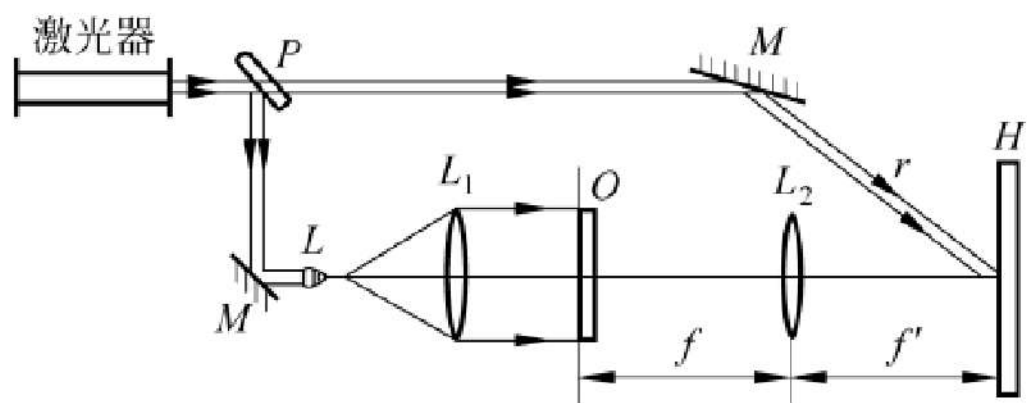
6.8.3 全息术的应用

1. 全息光学元件
2. 全息显示
3. 全息干涉计量 应力应变的不接触测量...
4. 全息存储

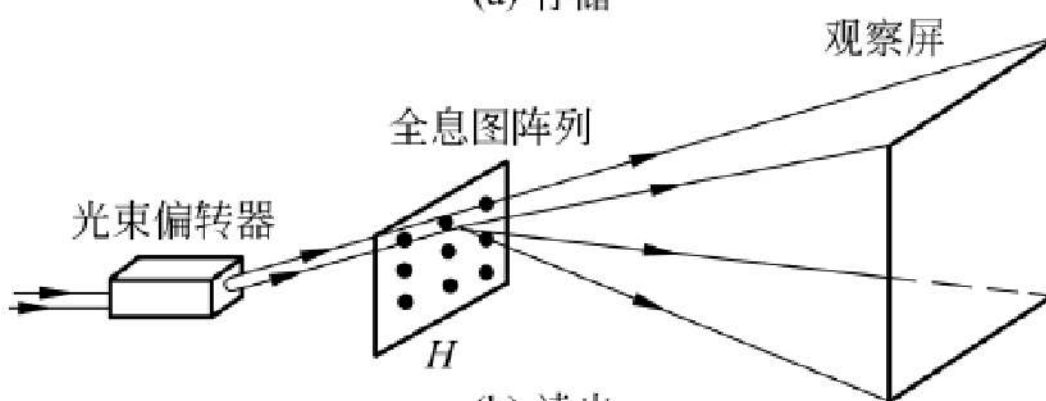


(a) 二次曝光法

(b) 实时法



(a) 存储



(b) 读出

**习题： 2、 6、 8、 10、 11、 13、
15、 17、 19、 24、 28、 35**